



بررسی اثر انکپسوله‌سازی سلول‌های بنیادی اسپرماتوگونی در هیدروژل آژینات در طی انجام‌ذوب

افشین پیرنیا^۱، کاظم پریور^۲، پریچهر یغمایی^۳، مسعود حمادی^۳، محمد رضا غلامی^{۵*}

- ۱- دانشگاه آزاد اسلامی واحد علوم و تحقیقات تهران- دانشکده علوم پایه- دکترای علوم جانوری؛ سلوی، تکوینی.
- ۲- دانشگاه آزاد اسلامی واحد علوم و تحقیقات تهران- دانشکده علوم پایه- دکترای علوم جانوری، سلوی، تکوینی- گروه زیست‌شناسی جانوری- استاد.
- ۳- دانشگاه آزاد اسلامی واحد علوم و تحقیقات تهران- دانشکده علوم پایه- دکترای فیزیولوژی جانوری- گروه زیست‌شناسی جانوری- دانشیار.
- ۴- دانشگاه علوم پزشکی جندی شاپور اهواز- دانشکده پزشکی- دکترای علوم تشریحی- مرکز تحقیقات باروری و ناباروری- دانشیار.
- ۵- دانشگاه علوم پزشکی کرمانشاه- دانشکده پزشکی- دکترای علوم تشریحی- گروه علوم تشریحی- دانشیار.

تاریخ دریافت: ۱۳۹۵/۶/۲۰، تاریخ پذیرش: ۱۳۹۵/۷/۱۷

چکیده

مقدمه: اسپرماتوژن پستانداران از سلول‌های بنیادی اسپرماتوگونی (SSCs) منشاء می‌گیرد. درمان‌های ضد سرطان، اعم از پرتودرمانی یا شیمی‌درمانی، با هدف قرار دادن این سلول‌های پرتوکشیر می‌توانند باعث ناباروری شوند. در مردان بالغ مبتلا به سرطان، انجام اسپرماتوزوئیدها قبل از شروع درمان راه حفظ باروری در طی روند درمان است؛ اما در پسران نابالغ به دلیل نبود اسپرماتوزوئید، انجام این کار محدود نیست. هدف این مطالعه بررسی اثر آژینات بر کاهش اثرات سوء انجام‌ذوب بر پتانسیل SSCs و حفظ این سلول‌ها در بچه‌های سرتانی است که تحت شیمی‌درمانی یا رادیوتراپی قرار می‌گیرند.

مواد و روش‌ها: از پیشه موش‌های ۶ روزه نابالغ *Balb/C* جداسازی به وسیله آنتی‌بادی‌های *c-kit* و *Thy-1* و *MACS* انجام گرفت. این سلول‌ها در هیدروژل آژینات انکپسوله و منجمد شدند. بعد از ذوب سلول‌ها تعیین درصد سلول‌های زنده انجام گرفت. پس از استخراج RNA و ساخت cDNA بررسی بیان ژن‌های *Oct4*, *Lin28*, *Bcl6b*, *Etv5*, *Dazl*, *Plzf*, *Sall4* و *Nanog* به روش *Real time-PCR RT* صورت گرفت. برای آنالیز نتایج از نرم‌افزار آماری SPSS و برای تجزیه و تحلیل بیان ژن از نرم‌افزار *Rest* استفاده گردید.

نتایج: درصد سلول‌های زنده پس از انجام‌ذوب در گروه سلول‌های انکپسوله در آژینات نسبت به گروه کنترل کاهش آماری معنی‌داری را نشان نمی‌دهد. در گروه انجام‌ذوب با انکپسوله‌سازی در آژینات بیان ژن‌های *Lin28* و *Sall4* افزایش یافته ($P < 0.0001$) و بیان ژن *Dazl* کاهش یافته است ($P < 0.0001$).

نتیجه‌گیری: این مطالعه نشان می‌دهد که استفاده از آژینات به عنوان یک داریست در حفاظت سرمایی SSCs می‌تواند برای حفظ پتانسیل بنیادی این سلول‌ها مؤثر باشد.

واژه‌های کلیدی: سلول‌های بنیادی اسپرماتوگونی، حفاظت سرمایی، آژینات.

*نویسنده مسئول: دانشگاه علوم پزشکی کرمانشاه- دانشکده پزشکی- گروه علوم تشریحی، تلفن: ۰۹۱۸۳۰۲۶۸۴، نمابر: ۳۳۱۲۰۱۳۳

Email: rezagholami57@gmail.com

ارجاع: پیرنیا افشن، پریور کاظم، یغمایی پریچهر، حمادی مسعود، غلامی محمد رضا. بررسی اثر انکپسوله‌سازی سلول‌های بنیادی اسپرماتوگونی در هیدروژل آژینات در طی انجام‌ذوب. مجله دانش و تدرستی (۱۱؛ ۱۳۹۵: ۴۷-۳۹).

مقدمه

اسپرماتوژن پستانداران از سلول‌های بنیادی اسپرماتوگونی (SSCs) منشاء می‌گیرد، به این صورت که این سلول‌ها برای بوجود آوردن اسپرماتوزوئید بالغ تحت میتوز، میوز و اسپرمیوژن قرار می‌گیرند. SSC‌ها در واقع سلول‌های بنیادی بزرگ‌سالی هستند که هم خودنویایی (Self-renewal) می‌کنند و هم تمایز می‌یابند. حفظ پلوری پوتنسی آنها هم توسط عوامل بیرونی تறیح شده از سلول‌های سوماتیک احاطه‌کننده و هم توسط عوامل درونی مانند برنامه‌های بیان ژن اختصاصی آنها تنظیم می‌شود (۱).

تعداد سلول‌های بنیادی اسپرماتوگونی بسیار اندک است، به طوری که در بیضه موش‌ها تنها 0.03% درصد از سلول‌های زایا را تشکیل می‌دهند (۲). سلول‌های بنیادی که اسپرماتوزوئیدها را به وجود می‌آورند به شیمی‌درمانی و پرتودرمانی بسیار حساس‌ترند در مقایسه با دیگر سلول‌های بیضه‌ای از جمله سلول‌های لیدیگ و سرتولی (۳)، نایاب‌راین نایاب‌رایی یکی از اثرات جانبی معمول درمان سرطان در مردان است (۴)؛ چرا که درمان‌های ضد سرطان اعم از پرتو درمانی یا شیمی درمانی با هدف قرار دادن سلول‌های پرتكشی، اثر درمانی خود را بر سلول‌های سرطانی اعمال می‌کنند. در این میان، سلول‌های زایا نیز با توجه به نرخ بالای تکشی، دچار آسیب و مرگ سلولی می‌شوند که در نهایت با کاهش توان نایاب‌رایی یا نایاب‌رایی کامل بیماران همراه است (۵). با توجه به پیشرفت‌های موجود در درمان سرطان، یافتن راه‌های حفظ باروری کودکان تحت درمان‌های ضد سرطان از اولویت‌های متخصصان علوم باروری به حساب می‌آید (۶).

برخی از روش‌های حفظ باروری در مردان بالغ انجام می‌گیرد، که این روش‌ها، به علت دسترسی به بافت فعال بیضه و نیز اسپرماتوژن‌آی مؤثر، روش‌هایی به نسبت دردسترس هستند و در حال حاضر امکان حفظ باروری را فراهم می‌آورند. از جمله اخذ و انجام نمونه‌های اسپرم قبل از انجام شیمی‌درمانی و پرتودرمانی و استفاده از آن برای تزریق درون سیتوپلاسمی اسپرم (ICSI) یا لقاچ آزمایشگاهی (IVF) شناس باروری مردان رهایی یافته از سرطان را افزایش داده است (۷). اما از سویی دیگر، روش‌های حفظ باروری کودکان تحت شیمی‌درمانی با مشکل فقدان سلول‌های اسپرماتوگونی فعال و نبود اسپرم مؤثر مواجه است. وجود مشکلات فوق باعث محدودیت روش‌های حفظ باروری برای کودکان شده است. باین حال، تلاش خوبی در این راه انجام شده است و بسیاری از دانشمندان این فرآیند را پیگیری می‌کنند (۸).

نشان داده شده که سلول‌های بنیادی اسپرماتوگونی می‌توانند اسپرماتوژن را در موش‌هایی که به طور شیمیایی عقیم شده‌اند دوباره برقرار سازند؛ که این امر پتانسیل درمانی جدیدی را برای بازگشت

مواد و روش‌ها

موش‌های نژاد c/Balb از بخش حیوانات آزمایشگاهی مؤسسه رازی خردیداری گردیدند. پرورش و نگهداری موش‌ها در اتاق حیوانات و در داخل قفسه‌های مخصوص انجام شد. حیوانات در شرایط استاندارد ۱۲ ساعت روشنایی و ۱۲ ساعت تاریکی به همراه تهویه مطبوع و تغذیه با غذای کنستانته مخصوص موش تهیه شده از موسمه انتستیوی رازی، آب کافی و دمای $20 \pm 2^\circ\text{C}$ درجه سانتی‌گراد نگهداری شدند. به علت اینکه برای استخراج سلول‌های بنیادی اسپرماتوگونی به موش نابالغ ۶

مغناطیسی MACS Separator قرار گرفت و سوسپانسیون سلولی داخل ستون ریخته شد. در زیر ستون سلول‌های نشان‌دار نشده جاری شده و جمع‌آوری شدند. ستون از MACS Separator جدا شد و روی یک لوله فالکون استریل مناسب قرا گرفت. چند میلی‌لیتر بافر به درون ستون با سمپلر اضافه شد و با نصب تلمبه ستون و فشردن آن، محتويات آن به درون لوله فالکون خالی گردید که حاوی سلول‌های بنیادی اسپرماتوگونی هستند (۱۸).

پس از هر مرحله جداسازی و در طول کار Viability سلول‌ها با استفاده از رنگ‌آمیزی تریپان بلو $^0/4$ درصد بررسی شد. برای شمارش سلول نیز از هموسیتومر استفاده گردید.

سلول‌های بنیادی اسپرماتوگونی جدا شده به شکل پلت سلولی آماده گردید. محلول آژینات استریل به لوله فالکون حاوی پلت سلولی (با غلظت سلولی $^{2\times 10^6}$ در هر سی سی محلول آژینات) انتقال یافت و در داخل آن مخلوط شده و چند بار پیپتینگ شدند. سپس مخلوط اسپرماتوگونی/آژینات به آرامی به شکل قطره‌قطره به ظرف حاوی کلرید کلسیم استریل ریخته شد. در حدود ۱۵ دقیقه در محلول فوق نگهداری گردید تا دانه‌های آژیناتی کاملاً پلیمریزه شدند و سپس در محلول (%/۹ NaCl) نشستشو شدند (۱۳).

محیط انجام‌دادی مورد استفاده شامل محیط کشت DMEM بعلاوه ۱۰ درصد FBS و ۱۰ درصد DMSO است. کرایوویال‌های حاوی سلول و محیط انجام‌دادی ابتدا به مدت ۲۰ دقیقه در ۴ درجه سانتی‌گراد قرار گرفت. سپس به مدت ۱ ساعت در ۲۰-۲۰ درجه سانتی‌گراد و یک شب در ۷۰-درجه سانتی‌گراد نگهداری شدند و در نهایت به تانک نیتروژن مایع (۱۹۶-درجه سانتی‌گراد) منتقل شدند.

استخراج RNA برای بررسی سطح بیان ژن‌های مورد مطالعه انجام گرفت. در این مطالعه برای استخراج RNA از Total RNA (Jena Bioscience, Germany) Purification Kit همچنین برای سنتز cDNA از کیت AccuPower® CycleScript همچنین برای سنتز RT PreMix (dN6 RT متعلق به شرکت BIONEER کشور کره جنوبی و طبق دستور سازندگان آن استفاده شد.

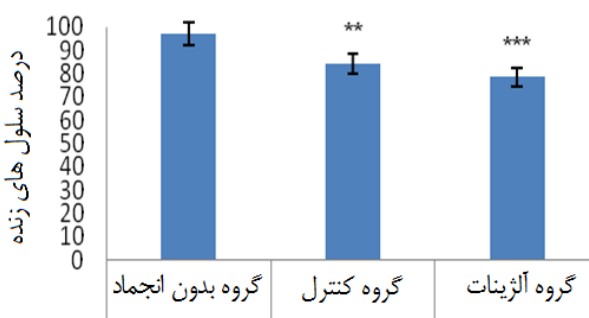
جدول ۱- ویژگی برایم‌های ژن‌های مورد بررسی توسط

Genes	Sequence (5'->3')	Product length (bp)
Sall4	F: TCAAGGCCAAGGACGAAGTC R: TGTGGAGCGAAGGTAATC	102
Nanog	F: GGAGGACTTCTGCAGCCTT R: ACCTGGTGGAGTCACAGAGT	154
Etv5	F: GTCGATAAGGCTGAGTCGGG R: AGGAAGGCCAAAGAGGAACG	163
Bcl6b	F: GGAACACAGAAGGGGAGGG R: CAAGCCAAGGGAGAGGCCA	71
Dazl	F: CTGTCAGGATTGCTCCCTGG R: AGTAGCAAGGTGCTGTCCC	103
Lin28a	F: CTGTCAGGCTGGAACAT R: GTGAGGTAGGTTGTGGCGA	196
GAPDH	F: CAATGTGTCCGTGATCT	208

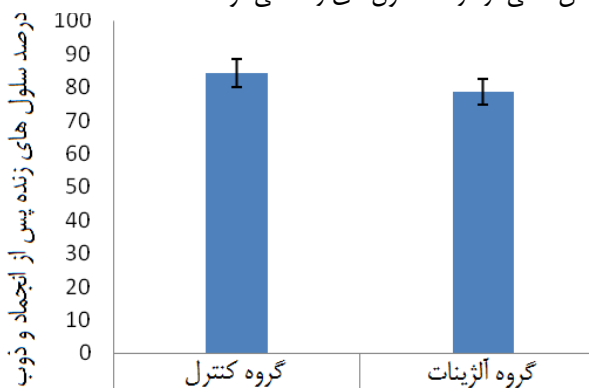
روزه احتیاج است، پس موش‌های نر و ماده باهم جفت شدند. روز تولد توله موش‌ها، روز صفر در نظر گرفته شد و ۶ روز بعد توله‌های نر جدا شده و از بیضه آنها برای استخراج سلول‌های بنیادی اسپرماتوگونی استفاده گردید.

موش‌ها با دوزه‌های بالای کاتامین (mg/kg) و زیلازین (mg/kg) کشته شدند (۱۵). ناحیه تناسلی با الکل ۷۰ درصد ضد عفونی شد، در قسمت تحتانی شکم بالاتر از لگن با قیچی استریل برشی در دیواره شکم زده و پس از پیدا کردن مثانه در کناره‌های آن بیضه‌ها مشاهده می‌شوند. در مرحله بعد با استفاده از میکروسکوپ استریو، بیضه‌ها به دقت تشريح و خارج گردید. هضم و استخراج سلول از بیضه موش‌های ۶ روزه با روش میلازو و همکاران انجام می‌شود (۱۶). به این صورت که بیضه‌ها پس از استخراج به محیط کشت DMEM حاوی ۱۰٪ پنی‌سیلین/استرپتومایسین منتقل شدند و تونیکا آلبورژینه زیر میکروسکوپ استریو برداشته شد. لوله‌های سینی فروسر به لوله فالکون حاوی DMEM به علاوه ۲ میلی‌گرم/میلی‌لیتر کلائزناز و ۳۰۰ میکرو‌گرم/میلی‌لیتر DNaseI در ۳۷ دقیقه در ۱۵ دقیقه در دور ۱000 rpm شستشو شدند (سانتریفیوژ با دور به مدت ۵ دقیقه). به مدت ۵ دقیقه در دمای ۳۷ درجه ۱ mM EDTA+ ۰.۲۵٪ Trypsin به پلت سلولی حاصل از مرحله قبل اضافه شد و سپس پیپتینگ گردید و آهسته تکان داده شدند تا سلول‌های لوله از هم جدا و متفرق گردند. برای جدا شدن بهتر سلول‌ها ۳۰۰ میکرو‌گرم/میلی‌لیتر DNaseI اضافه گردید. بعد از جدا شدن سلول‌ها فعالیت Trypsin با افودن ۱۰-۲۰٪ FBS متوقف گردید. سوسپانسیون سلولی با مش نایلون ۲۰ میکرو (FALCON, USA) صاف شد. تمام مواد مورد استفاده از شرکت Sigma-Aldrich آمریکا تهیه شد.

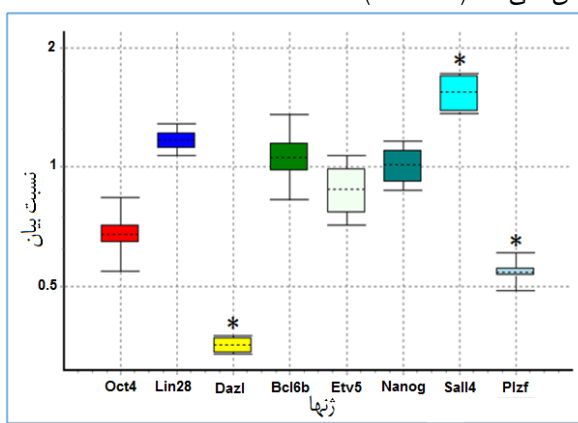
از آنچایی که سلول‌های بنیادی اسپرماتوگونی C-kit⁺ Thy-1⁺ هستند، جهت جداسازی آنها از تکنیک MACS و از میکروبیدهای متصل به آنتی‌بادی Thy-1 و C-kit (Miltenyi Biotec, Germany) استفاده گردید و از این طریق ناخالصی‌های باقیمانده از جمله سلول‌های سرتولی جدا شدند. تکنیک MACS مطابق با روش Oatley و Brinster انجام گرفت (۱۷). به این ترتیب که ۱۰^۷ سلول برای انجام آزمایش شمارش گردید و سوسپانسیون سلولی سانتریفیوژ شد. پلاک سلولی در ۹۰ میکرو‌لیتر بافر حل شد و سپس ۱۰ میکرو‌لیتر از میکروبید-1 اضافه شد. با پیپتینگ ملايم سوسپانسیون یکنواختی تهیه شد و به مدت ۱۵ دقیقه در یخچال نگهداشته شدند (دما ۲-۸ درجه). سلول‌ها سانتریفیوژ شدند و دوباره در ۵۰۰ میکرو‌لیتر بافر حل شدند و جداسازی با مگنت انجام شد. به این صورت که سلول MACS (Miltenyi Biotec, Germany) در میدان



نمودار ۱- مقایسه درصد سلول‌های زنده گروه کنترل و گروه سلول‌های انکپسوله شده در آژینات پس از انجام با گروه سلول‌های تازه جداسده (Mean \pm SE) انجام و ذوب سلول‌ها با آژینات و بدون آژینات (گروه کنترل) باعث کاهش معنی‌دار درصد سلول‌های زنده می‌شود.



نمودار ۲- مقایسه درصد سلول‌های زنده انکپسوله شده در آژینات پس از انجام با گروه کنترل بدون آژینات (Mean \pm SE) درصد سلول‌های زنده در گروه آژینات تغییر معنی‌داری از نظر آماری نشان نمی‌دهد ($P=0.364$).



نمودار ۳- بیان نسبی ژن‌ها در SSCs انکپسوله شده در آژینات پس از انجام در مقایسه با گروه کنترل بدون آژینات

Plzf	R: GTCTTCAGTGTAGCCCAAGATG F: ACATGGCTGTCTCTGTCTG	174
Pou5f1 (Oct4)	R: GGTGGTCACCTGTATGTGAG F: GGATGGCATACTGTGGAC	233

برای ارزیابی بیان رونوشت‌های ژن‌های موردنظر در سلول‌های گروه‌های تجربی و مقایسه با ژن‌های سلول‌های گروه‌های کنترل، از روش RealTime-PCR استفاده شد. نوع سنجش موردنظر با دستگاه qPCR GreenMaster with Master mix کیت Rotor.Gene 6000 (corbett) انجام گرفت. از lowROX شرکت Jena Bioscience کشور آلمان استفاده گردید؛ در نهایت با استفاده از روش RT-Real-Time PCR بیان ژن‌های Sall4، Nanog، Evt5، Bcl6b، Plzf، Dazl، Lin28، Oct4 بررسی گردید.

تفاوت‌های آماری میان درصد سلول‌های زنده پس از انجام/ذوب سلول‌های بنیادی اسپرماتوگونی توسط نرمافزار آماری SPSS توسط one-way ANOVA آنالیز شدند و به صورت میانگین‌های SEM \pm ارائه گردیده است. از P value به میزان کمتر یا مساوی با ۰/۰۵ به عنوان معنی‌دار بودن آماری استفاده شد. داده‌های Real Time-PCR با استفاده از نرمافزار Rest 2009 تجزیه و تحلیل گردید و جداول و نمودارها توسط همین نرمافزار ارایه شدند.

نتایج

درصد سلول‌های زنده پس از جداسازی در گروه سلول‌های تازه (بدون انجام و ذوب) $96/90 \pm 0/052$ ، در گروه انجام بدون آژینات (کنترل) $1/052 \pm 0/037$ و در گروه انجام سلول‌های انکپسوله در آژینات $78/58 \pm 0/07$ می‌باشد.

همان‌طور که نمودار ۱ نشان می‌دهد، فرآیند انجام سلول‌ها که به روش انکپسوله‌سازی در آژینات و همین‌طور بدون آژینات انجام شد در مقایسه با گروه سلول‌های تازه جداسده (بدون انجام و ذوب) باعث کاهش درصد سلول‌های زنده می‌شود؛ که این کاهش از نظر آماری در گروه کنترل ($P=0.002$) و در گروه آژیناتی ($P<0.0001$) معنی‌دار است (نمودار ۱).

درصد سلول‌های زنده پس از انجام و ذوب در گروه سلول‌های انکپسوله در آژینات ($78/58 \pm 0/07$) در مقایسه با گروه کنترل $1/052 \pm 0/037$ کاهش یافته است، اما این کاهش از نظر آماری معنی‌دار نیست ($P=0.364$) (نمودار ۲).

کاهش دهد و هم احتمال آلودگی را افزایش دهد؛ بنابراین استفاده از یک روش ساده و امکان‌پذیر جهت هضم برای آماده‌سازی رضایت‌بخش سوسپانسیون سلولی لازم است. در مطالعه حاضر برای جداسازی اسپرماتوگونی‌ها، اول لوله‌های منی‌ساز موش ۶ روزه به روش مکانیکی از هم شکافته و جدا شدند. این مرحله اساس کار برای جداسازی است تا مراحل بعدی بهتر انجام شود. سپس از هضم آنزیمی دو مرحله‌ای به منظور جداسازی بیشتر استفاده شد.

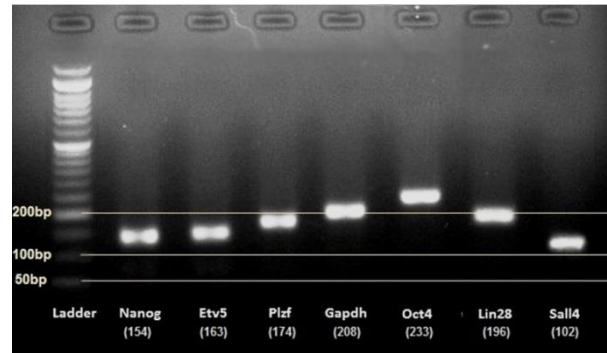
لیو و همکاران از روش هضم هضم آنزیمی دو مرحله‌ای برای جداسازی سلول‌های بافت بیضه انسانی استفاده کردند و آن را به عنوان یک روش ساده که با کاهش میزان آلودگی و افزایش تعداد سلول‌های زنده همراه است معرفی کردند (۲۳). در مطالعه حاضر از سه آنزیم کلاژنаз، تریپسین و DNase جهت هضم نمونه بافت بیضه استفاده شد. استفاده از کلاژناز موجب هضم غشاء پایه و حذف شدن سلول‌های بینایینی بدون قطعه‌قطعه شدن لوله‌های منی‌ساز می‌شود. سپس لوله‌ها با استفاده از DNase از هم باز می‌شوند. این روش موجب آسیب کمتر سلولی می‌شود و به دنبال هضم مکانیکی مؤثر در اکثر آزمایشگاه‌ها استفاده می‌شود (۲۴). تریپسین یک پروتئاز سرینی است که در سیستم گوارش تعداد زیادی از مهره‌داران وجود دارد و عمل هیدرولیز پروتئین‌ها را انجام می‌دهد (۲۵).

در مطالعه‌ای که لیو و همکاران انجام دادند درصد سلول‌های زنده پس از دو مرحله هضم آنزیمی ۹۱/۷٪ گزارش شده است (۲۳). این نتیجه مشابه نتایج حاصل از مطالعه‌هی و جانگ بود که از چهار آنزیم کلاژناز، تریپسین، DNase و هیالورونیداز جهت هضم نمونه بافت بیضه انسانی استفاده کرده بودند (۲۵ و ۲۶). در مطالعه‌ای که کروچی و همکاران انجام دادند پس از دو مرحله هضم آنزیمی و با استفاده از آنزیم‌های فوق درصد سلول‌های زنده در نمونه انسانی ۹۲٪ گزارش شد (۲۷). در مطالعه‌هی و همکاران در سال ۲۰۱۲ میزان زنده ماندن سلول‌ها پس از هضم آنزیمی و اجرای روش MACS را ۹۶ درصد گزارش کردند (۲۸). در مطالعه حاضر درصد سلول‌های زنده پس از جداسازی ۹۶٪ بود که با مطالعات قبلی انجام شده همخوانی دارد.

هضم آنزیمی امروزه یک روش متداول و اولیه برای جداسازی SSCs است ولی برای غنی‌سازی کافی نیست. از آنجایی که ترکیبات سلول‌های سوماتیک بیضه می‌تواند سلول را به سمت تمایز پیش ببرد و از طرف دیگر تکثیر اسپرماتوگونی تمایز نیافته، بوسیله سلول‌های تمایزیافته مهار می‌شود (۲۹). در مطالعه حاضر نیز انتخاب و خالص‌سازی سلول‌های SSCs از سوسپانسیون سلولی به دست آمده انجام شد.

کنراد و همکاران در ۲۰۰۸ با استفاده از تکنیک MACS و نشانگرهای Thy1 و α6-integrin سلول‌های بیضه انسان را

بیان ژن‌های Plzf و Dazl کاهش معنی‌دار و بیان ژن Sall4 افزایش معنی‌داری را نشان می‌دهند و بیان ژن‌های Oct4، Bcl6b، Lin28، Nanog و Etv5 تغییر معنی‌داری را نشان نمی‌دهند.



شکل ۱- ژل الکتروفورز محصولات Real time-PCR

همان‌طور که در نمودار ۳ آمده است، با اینکه در بیان ژن‌های Oct4، Plzf و Nanog در سلول‌های بنیادی اسپرماتوگونی انکپسوله شده در هیدروژل آثربینات در مقایسه با گروه کنترل (سلول‌های بنیادی اسپرماتوگونی بدون آثربینات) تغییر معنی‌داری ایجاد نشده است، اما بیان ژن‌های Lin28 و Sall4 فرا-تنظیم (Up-regulation) شده و Dazl تنها ژنی است که بیان آن در مقایسه با گروه کنترل فرو-تنظیم (Down-regulation) شده است.

بحث

شیمی‌درمانی و پرتو درمانی بیماران بالغ و کودکان درمان شده آن‌ها را با خطر محدودیت‌های مادام‌العمری در باروری روبرو می‌سازد (۱۹). ۳۰٪ درمان بدخیمی‌های دوران کودکی بر باروری تأثیر دارند و شیوع ناباروری درمان زاد در میان بزرگسالان بازمانده از سلطان کودکی قابل توجه است (۲۰). تامسون همکاران در یک مطالعه گزارش کرده اند که از ۳۰٪ (۱۰ نفر از ۳۳ بیمار) از پسرهایی که از بیماری سرطان نجات یافته‌اند، در زمان بلوغ دچار آزواسپرمی شدند. به علاوه در گروهی که آزواسپرم محسوب نشده بودند نیز غلظت اسپرم به میزان زیادی نسبت به گروه کنترل کاهش نشان می‌داد (۲۱).

اولین مرحله کار با SSCs، جداسازی آن‌هاست. تعداد کم در بیضه و نبود نشانگر منحصر به فرد، باعث ممانعت از گسترش مطالعه در این زمینه بوده است. در این مطالعه برای جداسازی SSCs از نوزاد تهییه SSCs با خلوص بالا استفاده از بیضه‌های نوزاد است (۲۲). سلول‌های بیضه‌ای گرفته شده از بافت بیضه‌ای نوزاد موس ۶ تا ۱۰ روزه دارای نسبت بالاتری از SSCs هستند و برای کشت مناسب‌تر هستند در مقایسه با بیضه موس بالغ (۹). استفاده از روش‌های هضم پیچیده، چند مرحله‌ای و وقت‌گیر می‌تواند هم زنده بودن سلول‌ها را

سلول‌های زایای پس از تولد قابل مقایسه با سلول‌های ES نیست. پیسکی و همکاران با روش ایمونوھیستوژنی، پروتئین Oct4 در اسپرماتوگونی‌های موش را ۷ روز پس از تولد نشان دادند اما در حیوانات بالغ تنها یک زیرمجموعه از اسپرماتوگونی‌ها (نوع A) مثبت بودند (۳۹). جنین‌های هموژیگوت Pou5f1-null در زمان لانه‌گزینی می‌میرند، بنابراین مانع از تجزیه و تحلیل‌های بیشتر عملکرد ژن طی تکوین اسپرماتوگونیال پس از تولد می‌شوند. شینوهارا نشان داد که ژن پلوری پوتنسی Oct4 در SSC‌های کشت‌شده در سطح پایینی بیان می‌شود (۴۰). بواس و همکاران هم-بیانی Oct4 و Plzf (مارکر اسپرماتوگونی‌های تمایزیافته) را در بیضه‌های موش بالغ نشان دادند (۴۱).

از کار انداختن Bcl6b به‌واسطه siRNA در SSC‌ها باعث ارتقاء آپوپتوز می‌شود، بدین صورت که فقدان Bcl6b ژن‌های مرتبط با آپوپتوز را فرا-تنظیم می‌کند که این واقعیت، Bcl6b را به عنوان یک عامل حیاتی موردنیاز برای رشد in vitro سلول‌های زایا حمایت می‌کند (۴۲). موش‌های Bcl6b null اسپرماتوژنر معیوبی را نشان می‌دهند.

Etv5 از دیگر عوامل رونویسی است که نقش مهمی در بقای SSCs دارد. در موش‌هایی که Etv5 دچار جهش شده است میزان کاهش پیش‌روندهای را نشان می‌دهد که درنهایت منجر به سندرم سرتولی می‌گردد (۴۳ و ۴۴). برای خود-توzایی SSC هم در شرایط in vivo و هم in vitro ضروری است و در نگهداری مخزن SSC نقش دارد (۴۵).

Dazl یک پروتئین باند شونده به RNA را تولید می‌کند که برای تکوین یافتن سلول‌های زایای اولیه و تولید مثل هر دو جنس ضروری است (۴۶)، فقدان بیان Dazl باعث آپوپتوز سلول‌های زایای می‌شود. در موش‌هایی که دارای جهش در این ژن هستند لوله‌های منی‌ساز حاوی اسپرماتوگونی و تعداد کمی اسپرماتوسیت‌های پاکی تن می‌باشند. اسپرماتوگونی‌های مشاهده شده از نوع تمایز نیافته می‌باشند (۴۷). در بیشتر مطالعات انجام‌شده عملکرد Dazl را به عنوان یک تقویت‌کننده ترجمه‌ای نشان داده‌اند. چن و همکاران در ۲۰۱۴ شبکه‌ای از پروتئین‌ها و mRNA‌های تعامل کننده Dazl را شناسایی کردند که نقش مرکزی را در کنترل پلوری پوتنسی، تمایز و آپوپتوز ایفاء می‌کند. آنها همچنین نشان دادند که Dazl آپوپتوز را در PGC‌های در حال تکوین سرکوب می‌کند (۴۸).

ژن Sall4 که برای حفظ پلوری پوتنسی در سلول‌های بنیادی جنینی مهم است، از اهداف mRNA بوده و دارای موتیف باند شونده به Dazl در ۳'UTRs خود در رونوشت‌های موش و انسان است. Dazl اثر مهاری بر بیان ژن Sall4 دارد. در مقابل، OCT4

خالص‌سازی نمودند (۳۰). شینوهارا در سال ۲۰۰۰ از روش MACS با استفاده از نشانگرهای فوق جداسازی SSCs را انجام دادند و MACS را بهتر از FACS دانسته است (۳۱). کوبوتا و همکاران در سال ۲۰۰۳ از نشانگرهای MHC-1، Thy-1 و c-kit برای خالص‌سازی استفاده کردند. آنها همچنین اعلام کردند که Thy-1 مارکر اختصاصی در موش است (۳۲ و ۳۳). کوبوتا و همکاران به‌وضوح نشان داده‌اند که SSCs توسط فنتیپ سطحی c-kit⁻ و c-kit⁺ شناخته می‌شوند؛ بنابراین در مطالعه حاضر خالص‌سازی سلول‌های بنیادی اسپرماتوگونی با استفاده از روش MACS و نشانگرهای Thy-1 و c-kit انجام گرفت. سلول‌های جدا شده از نظر اندازه، شکل، نسبت هسته به سیتوپلاسم و مورفو‌لوزی هسته مشابه هم بودند. این مورد را استوکنبرگ نیز گزارش کرده بود (۳۴).

در سال ۱۹۹۹ پژوهشگران متعددی از جمله اوگاوا و دوریینسکی با استفاده از دی‌متیل سولفوکساید ۱۰٪ موفق به انجام سلول‌های زایا شدن و همچنین آن‌ها بقای سلول‌های ذوب شده را بعد از انجام ۷۰٪ گزارش نمودند (۳۵ و ۳۶). در این مطالعه درصد سلول‌های زنده در گروه انجام بدون آژینات (کنترل) ۸۴٪ و در گروه انجام سلول‌های انکپسوله در آژینات ۷۸٪ است (نمودار ۲).

نتایج بررسی بیان ژن‌های Oct4، Bcl6b، Etv5، Nanog، Plzf و Real-Time PCR انجام گرفت حاکی از بیان این ژن‌ها در SSCs است. علاوه بر این، انکپسوله کردن SSCs در هیدروژل آژینات و انجام-ذوب آن‌ها تغییر معنی‌داری را در بیان این ژن‌ها نسبت به گروه کنترل ایجاد نکرده است. در مقابل، بیان ژن‌های Lin28 و Sall4 در سلول‌های بنیادی اسپرماتوگونی که در هیدروژل آژینات انجام و ذوب شدند، به‌طورمعنی‌داری افزایش یافته‌اند و Dazl تنها ژنی است که بیان آن در مقایسه با گروه کنترل، بطورمعنی‌دار کاهش یافته است (نمودار ۳).

وظیفه رده زایا انتقال اطلاعات ژنتیکی و اپی ژنتیکی لازم برای جنین‌زایی است، امکان اینکه سلول‌های زایای پس از تولد می‌توانند مستعد پلوری پوتنسی باشند را مطرح می‌کند. داده‌های حمایت‌کننده این فرضیه توسط گروه‌های متعددی منتشرشده که به‌طوربرجسته‌ای توسط شینوهارا در ۲۰۰۴ ارایه شده‌اند (۳۷). برحسب بیان ژن و ساختار کروماتین، SSC‌ها خصوصیات مشترکی با سلول‌های بنیادی پلوری پوتنت دارند (۳۸). یک سؤال اساسی در بیولوژی سلول بنیادی این است که چه عواملی برای تعیین Stemness در رده‌های مختلف بافتی وجود دارند. در زیر به ژن‌های بررسی شده در این مطالعه و اهمیت و ارتباط آن‌ها با سلول‌های بنیادی اسپرماتوگونی اشاره می‌شود؛ مطالعات با روش‌های ایمونولوژیکی و سیستم‌های گزارشگر ژنتیکی، بیان Oct4 را در بیضه پس از تولد نشان داده‌اند گرچه سطح آن در

5. Craft I, Bennett V, Nicholson N. Fertilising ability of testicular spermatozoa. *Lancet* 1993;342:864.
6. Hudson MM. Reproductive outcomes for survivors of childhood cancer. *Obstet Gynecol* 2010;116:1171-83. doi: 10.1097/AOG.0b013e3181f87c4b
7. Van Casteren N, van Santbrink E, Van Inzen W, Romijn JC, Dohle GR. Use rate and assisted reproduction technologies outcome of cryopreserved semen from 629 cancer patients. *Fertil Steril* 2008;90:2245-50. doi: 10.1016/j.fertnstert.2007.10.055
8. Sabanegh ES, Ragheb AM. Male fertility after cancer. *Urology* 2009;73:225-31. doi: 10.1016/j.urology.2008.08.474
9. Gouk SS, Loh YF, Kumar SD, Watson PF, Kuleshova LL. Cryopreservation of mouse testicular tissue: prospect for harvesting spermatogonial stem cells for fertility preservation. *Fertil Steril* 2011;95:2399-403. doi: 10.1016/j.fertnstert.2011.03.035
10. Loren AW, Mangu PB, Beck LN, Brennan L, Magdalinski AJ, Partridge AH, et al. Fertility preservation for patients with cancer: American Society of Clinical Oncology clinical practice guideline update. *J Clin Oncol* 2013;31:2500-10. doi: 10.1200/JCO.2013.49.2678
11. Ginsberg JP, Carlson CA, Lin K, Hobbie WL, Wigo E, Wu X, et al. An experimental protocol for fertility preservation in prepubertal boys recently diagnosed with cancer: a report of acceptability and safety. *Hum Reprod* 2010;25:37-41. doi: 10.1093/humrep/dep371
12. Lin N, Lin J, Bo L, Weidong P, Chen S, Xu R. Differentiation of bone marrow-derived mesenchymal stem cells into hepatocyte-like cells in an alginate scaffold. *Cell Prolif* 2010;43:427-34. doi: 10.1111/j.1365-2184.2010.00692.x
13. Pravdyuk AI, Petrenko YA, Fuller BJ, Petrenko AY. Cryopreservation of alginate encapsulated mesenchymal stromal cells. *Cryobiology* 2013;66:215-22. doi: 10.1016/j.cryobiol.2013.02.002
14. Tomkoria S, Masuda K, Mao J. Nanomechanical properties of alginate-recovered chondrocyte matrices for cartilage regeneration. *Proc Inst Mech Eng H* 2007;221:467-73.
15. Aoki T, Koizumi T, Kobayashi Y, Yasuda D, Izumida Y, Jin Z, et al. A novel method of cryopreservation of rat and human hepatocytes by using encapsulation technique and possible use for cell transplantation. *Cell Transplant* 2005;14:609-20.
16. Milazzo J, Vaudreuil L, Cauliez B, Gruel E, Massé L, Mousset-Siméon N, et al. Comparison of conditions for cryopreservation of testicular tissue from immature mice. *Hum Reprod* 2008;23:17-28. doi: 10.1093/humrep/dem355
17. Oatley JM, Brinster RL. [11]-Spermatogonial Stem Cells. *Methods in Enzymology* 2006;419:259-82. doi: 10.1016/S0076-6879(06)19011-4
18. van Waas M, Neggers SJ, Pieters R, van den Heuvel-Eibrink MM. Components of the metabolic syndrome in 500 adult long-term survivors of childhood cancer. *Ann Oncol* 2010;21:1121-6. doi: 10.1093/annonc/mdp414
19. Green DM, Kawashima T, Stovall M, Leisenring W, Sklar CA, Mertens AC, et al. Fertility of male survivors of childhood cancer: a report from the childhood cancer survivor study. *J Clin Oncol* 2010;28:332-9. doi: 10.1200/JCO.2009.24.9037
20. Thomson AB, Campbell AJ, Irvine DS, Anderson RA, Kelnar CJ, Wallace WHB. Semen quality and spermatozoal DNA integrity in survivors of childhood cancer: a case-control study. *Lancet* 2002;360:361-7.
21. Kanatsu-Shinohara M, Ogonuki N, Inoue K, Miki H, Ogura A, Toyokuni S, et al. Long-term proliferation in culture and germline transmission of mouse male germline stem cells. *Biol Reprod* 2003;69:612-6. doi: 10.1095/biolreprod.103.017012
22. Liu S, Tang Z, Xiong T, Tang W. Isolation and characterization of human spermatogonial stem cells. *Reprod Biol Endocrinol* 2011;9:141. doi: 10.1186/1477-7827-9-141

دیگر ژن کلیدی پلوری پوتنسی، هدف mRNA دیازل (Dazl) نیست (۴۹). هوبز و همکاران در سال ۲۰۱۲ نشان دادند که PLZF و SALL4 اثر آنتاگونیست بر روی هم دارند و با این عملکرد سرنوشت سلول بنیادی را کنترل می‌کنند. و با این عمل متقابل آنتاگونیستی باعث هم تنظیمی Kit (co-regulation) شوند. به طوری که کاهش سطوح Sall4 باعث افزایش بیان Plzf شده که این به نوبه خود باعث تقویت مهار Kit می‌شود (۵۰).

نتایج این مطالعه نیز مؤید این مطلب است؛ به طوری که فرو تنظیم بیان ژن Dazl در سلول‌های بنیادی اسپرماتوگونی انکپسوله شده در هیدروژل آژینات، باعث کاهش اثر مهار آن بر بیان ژن Sall4 شده است و درنتیجه Sall4 فرا-تنظیم شده است.

Lin28 را به عنوان ژنی که به طور متمایزی در اسپرماتوگونی‌های موش بیان می‌شود می‌شناسیم. Lin28 به طور غالباً در اسپرماتوگونی‌های نوع A بیان می‌شود (۵۱). یو و همکاران در از LIN28 به همراه OCT4 و NANOG برای برنامه‌ریزی مجدد سلول‌های سوماتیک انسانی به سلول‌های بنیادی پلوری پوتنت استفاده کردند (۵۲). ژنگ و همکاران در ۲۰۰۹ نشان دادند که Lin28 یک عامل پلوری پوتنسی است که به طور اختصاصی در اسپرماتوگونی‌های تمایز نیافرته بیان می‌شود و می‌تواند در حفظ حالت تمایز نیافرته در اسپرماتوگونی‌ها نقش بازی کند (۵۳).

استفاده از هیدروژل آژینات به عنوان یک داربست در حفاظت سرمایی سلول‌های بنیادی اسپرماتوگونی می‌تواند در جهت حفظ پتانسیل بنیادی این سلول‌ها مؤثر باشد. تعداد سلول‌های زنده پس از حفاظت سرمایی سلول‌های بنیادی اسپرماتوگونی انکپسوله شده در هیدروژل آژینات در مقایسه با گروه کنترل کاهش معنی داری ندارد. همچنین تجزیه و تحلیل بیان ژن‌های سنجش شده نشان می‌دهد که استفاده از داربست آژیناتی به فرم انکپسوله‌سازی باعث حفظ پتانسیل بنیادی SSCs طی نگهداری طولانی مدت آنها می‌شود. با بررسی‌های بیشتر در انسان این روش شاید کمکی در جهت حفظ توان تولید ممثلی پسران نابالغ مبتلا به سرطان در طی روند درمان باشد.

References

1. Yang L, Wu W, Qi H. Gene expression profiling revealed specific spermatogonial stem cell genes in mouse. *Genesis* 2013;51:83-96. doi: 10.1002/dvg.22358
2. Tagelenbosch RA, de Rooij DG. A quantitative study of spermatogonial multiplication and stem cell renewal in the C3H/101 F 1 hybrid mouse. *Mutat Res* 1993;290:193-200.
3. Shalet SM, Tsatsoulis A, Whitehead E, Read G. Vulnerability of the human Leydig cell to radiation damage is dependent upon age. *J Endocrinol* 1989;120:161-5.
4. Ginsberg JP. New advances in fertility preservation for pediatric cancer patients. *Curr Opin Pediatr* 2011;23:9-13. doi: 10.1097/MOP.0b013e3283420fb6

23. Izadyar F, Creemers LB, van Dissel-Emiliani FM, van Pelt AM, de Rooij DG. Spermatogonial stem cell transplantation. *Molecular and Cellular Endocrinology* 2000;169:21-6. doi: [10.1016/S0303-7207\(00\)00346-4](https://doi.org/10.1016/S0303-7207(00)00346-4)
24. Riboldi M, Rubio C, Pellicer A, Gil-Salom M, Simón C. In vitro production of haploid cells after coculture of CD49f⁺ with Sertoli cells from testicular sperm extraction in nonobstructive azoospermic patients. *Fertil Steril* 2012;98:580-90. doi: [10.1016/j.fertnstert.2012.05.039](https://doi.org/10.1016/j.fertnstert.2012.05.039)
25. He Z, Kokkinaki M, Jiang J, Dobrinski I, Dym M. Isolation, characterization, and culture of human spermatogonia. *Biol Reprod* 2010;82:363-72. doi: [10.1095/biolreprod.109.078550](https://doi.org/10.1095/biolreprod.109.078550)
26. Gang B, Yanfeng L. Isolation and purification of human spermatogenous cells. *Acta Acad Med Militaris Tertiae* 2005;27:1142-4.
27. Koruji M, Shahverdi A, Janan A, Piryaei A, Lakpour MR, Sedighi MAG. Proliferation of small number of human spermatogonial stem cells obtained from azoospermic patients. *Journal of Assisted Reproduction and Genetics* 2012;29:957-67. doi: [10.1007/s10815-012-9817-8](https://doi.org/10.1007/s10815-012-9817-8)
28. He Z, Kokkinaki M, Jiang J, Zeng W, Dobrinski I, Dym M. Isolation of human male germ-line stem cells using enzymatic digestion and magnetic-activated cell sorting. *Methods Mol Biol* 2012;825:45-57. doi: [10.1007/978-1-61779-436-0_4](https://doi.org/10.1007/978-1-61779-436-0_4)
29. Kanatsu-Shinohara M, Ogonuki N, Miki H, Inoue K, Morimoto H, Takashima S, et al. Genetic influences in mouse spermatogonial stem cell self-renewal. *J Reprod Dev* 2010;56:145-53.
30. Conrad S, Renninger M, Hennenlotter J, Wiesner T, Just L, Bonin M, et al. Generation of pluripotent stem cells from adult human testis. *Nature* 2008;456:344-9.
31. Shinohara T, Brinster RL. Enrichment and transplantation of spermatogonial stem cells. *Int J Androl* 2000;23:89-91.
32. Kubota H, Avarbock MR, Brinster RL. Spermatogonial stem cells share some, but not all, phenotypic and functional characteristics with other stem cells. *Proc Natl Acad Sci U S A* 2003;100:6487-92. doi: [10.1073/pnas.0631767100](https://doi.org/10.1073/pnas.0631767100)
33. Kubota H, Avarbock MR, Brinster RL. Culture conditions and single growth factors affect fate determination of mouse spermatogonial stem cells. *Biol Reprod* 2004;71:722-31. doi: [10.1095/biolreprod.104.029207](https://doi.org/10.1095/biolreprod.104.029207)
- function and testicular immune privilege. *Ann N Y Acad Sci* 2007;1120:144-51. doi: [10.1196/annals.1411.005](https://doi.org/10.1196/annals.1411.005)
34. Stukenborg JB, Wistuba J, Luetjens CM, Elhija MA, Huleihel M, Lunenfeld E, et al. Coculture of spermatogonia with somatic cells in a novel three-dimensional soft-agar-culture-system. *J Androl* 2008;29:312-29. doi: [10.2164/jandrol.107.002857](https://doi.org/10.2164/jandrol.107.002857)
35. Ogawa T, Dobrinski I, Avarbock MR, Brinster RL. Xenogeneic spermatogenesis following transplantation of hamster germ cells to mouse testes. *Biol Reprod* 1999;60:515-21.
36. Dobrinski I, Ogawa T, Avarbock MR, Brinster RL. Computer assisted image analysis to assess colonization of recipient seminiferous tubules by spermatogonial stem cells from transgenic donor mice. *Mol Reprod Dev* 1999;53:142-8. doi: [10.1002/\(SICI\)1098-2795\(199906\)53:2<142::AID-MRD3>3.0.CO;2-O](https://doi.org/10.1002/(SICI)1098-2795(199906)53:2<142::AID-MRD3>3.0.CO;2-O)
37. Kanatsu-Shinohara M, Inoue K, Lee J, Yoshimoto M, Ogonuki N, Miki H, et al. Generation of pluripotent stem cells from neonatal mouse testis. *Cell* 2004;119:1001-12. doi: [10.1016/j.cell.2004.11.011](https://doi.org/10.1016/j.cell.2004.11.011)
38. Seandel M, Falciatori I, Rafii S. Pluripotent stem cells from the postnatal testis: unlocking the potential of spermatogonial stem cells. *Male Germline Stem Cells: Developmental and Regenerative Potential*: Springer; 2011.p.25-47.
39. Pesce M, Wang X, Wolgemuth DJ, Schöler HR. Differential expression of the Oct-4 transcription factor during mouse germ cell differentiation. *Mechanisms of Development* 1998;71:89-98. doi: [10.1016/S0925-4773\(98\)00002-1](https://doi.org/10.1016/S0925-4773(98)00002-1)
40. Kanatsu-Shinohara M, Lee J, Inoue K, Ogonuki N, Miki H, Toyokuni S, et al. Pluripotency of a single spermatogonial stem cell in mice. *Biol Reprod* 2008;78:681-7. doi: [10.1095/biolreprod.107.066068](https://doi.org/10.1095/biolreprod.107.066068)
41. Buajas FW, Kirsh AL, Sharma M, McLean DJ, Morris JL, Griswold MD, et al. Plzf is required in adult male germ cells for stem cell self-renewal. *Nat Genet* 2004;36:647-52. doi: [10.1038/ng1366](https://doi.org/10.1038/ng1366)
42. Hartatik T, Okada S, Okabe S, Arima M, Hatano M, Tokuhisa T. Binding of BAZF and Bc16 to STAT6-binding DNA sequences. *Biochem Biophys Res Commun* 2001;284:26-32. doi: [10.1006/bbrc.2001.4931](https://doi.org/10.1006/bbrc.2001.4931)
43. Morrow CM, Hostetler CE, Griswold MD, Hofmann MC, Murphy KM, Cooke PS, et al. ETV5 is required for continuous spermatogenesis in adult mice and may mediate blood-testes barrier
44. Oatley JM, Avarbock MR, Brinster RL. Glial cell line-derived neurotrophic factor regulation of genes essential for self-renewal of mouse spermatogonial stem cells is dependent on Src family kinase signaling. *J Biol Chem* 2007;282:25842-51. doi: [10.1074/jbc.M703474200](https://doi.org/10.1074/jbc.M703474200)
45. Wu X, Oatley JM, Oatley MJ, Kaucher AV, Avarbock MR, Brinster RL. The POU domain transcription factor POU3F1 is an important intrinsic regulator of GDNF-induced survival and self-renewal of mouse spermatogonial stem cells. *Biol Reprod* 2010;82:1103-11. doi: [10.1095/biolreprod.109.083097](https://doi.org/10.1095/biolreprod.109.083097)
46. Lin Y, Page DC. Dazl deficiency leads to embryonic arrest of germ cell development in XY C57BL/6 mice. *Dev Biol* 2005;288:309-16. doi: [10.1016/j.ydbio.2005.06.032](https://doi.org/10.1016/j.ydbio.2005.06.032)
47. Schrans-Stassen BH, Saunders PT, Cooke HJ, de Rooij DG. Nature of the spermatogenic arrest in Dazl^{-/-} mice. *Biol Reprod* 2001;65:771-6.
48. Chen H-H, Welling M, Bloch DB, Muñoz J, Mientjes E, Chen X, et al. DAZL limits pluripotency, differentiation, and apoptosis in developing primordial germ cells. *Stem Cell Reports* 2014;3:892-904. doi: [10.1016/j.stemcr.2014.09.003](https://doi.org/10.1016/j.stemcr.2014.09.003)
49. Chew JL, Loh YH, Zhang W, Chen X, Tam WL, Yeap LS, et al. Reciprocal transcriptional regulation of Pou5f1 and Sox2 via the Oct4/Sox2 complex in embryonic stem cells. *Mol Cell Biol* 2005;25:6031-46. doi: [10.1128/MCB.25.14.6031-6046.2005](https://doi.org/10.1128/MCB.25.14.6031-6046.2005)
50. Wang PJ, Page DC, McCarrey JR. Differential expression of sex-linked and autosomal germ-cell-specific genes during spermatogenesis in the mouse. *Hum Mol Genet* 2005;14:2911-8. doi: [10.1093/hmg/ddi322](https://doi.org/10.1093/hmg/ddi322)
51. Yu J, Vodyanik MA, Smuga-Otto K, Antosiewicz-Bourget J, Frane JL, Tian S, et al. Induced pluripotent stem cell lines derived from human somatic cells. *Science* 2007;318:1917-20. doi: [10.1126/science.1151526](https://doi.org/10.1126/science.1151526)
52. Zheng K, Wu X, Kaestner KH, Wang PJ. The pluripotency factor LIN28 marks undifferentiated spermatogonia in mouse. *BMC Dev Biol* 2009;9:38. doi: [10.1186/1471-213X-9-38](https://doi.org/10.1186/1471-213X-9-38)



Study Effect of Encapsulation of Spermatogonial Stem Cells in Alginic Hydrogel During Cryopreservation

Afshin Pirnia (Ph.D.)¹, Kazem Parivar (Ph.D.)¹, Parichehr Yaghmaei (Ph.D.)¹, Massoud Hemadi (Ph.D.)², Mohammadreza Gholami (Ph.D.)^{3*}

1- Dept. of Biology, Science and Research Branch, Islamic Azad University, Tehran, Iran.

2- Fertility and Infertility Research Center, Ahvaz Jundishapur University of Medical Sciences, Ahvaz, Iran.

3- Dept. of Anatomical Sciences, Kermanshah University of Medical Sciences, Kermanshah, Iran.

Received: 10 September 2016, Accepted: 18 October 2016

Abstract:

Introduction: Spermatogonial stem cells (SSCs) are the foundation of spermatogenesis. Cancer treatments such as chemotherapy or radiotherapy by targeting of these high proliferating cells can cause infertility. In pubertal male patients, cryopreservation of spermatozoa before chemotherapy is the way for fertility preservation during treatment. However, for prepubertal male patients, because of the absence of spermatozoids, this is not possible. The aim of this study is the investigation of the effect of alginic hydrogel in reduction of cryopreservation effects on SSCs potential and preserve of these cells in cancer childhoods that undergoes chemotherapy or radiotherapy.

Methods: SSCs were isolated from the testes of Balb/c mice pups (6 days old), purified by MACS with Thy-1 and c-kit microbeads, encapsulated in alginic hydrogel and then cryopreserved. After thawing, cell viability was evaluated. After RNA was isolated and cDNA was synthesized, the expression of stemness genes Oct4, Sall4, Plzf, Dazl, Etv5, Bcl6b, Lin28, and Nanog was considered using RT Real-time PCR. Statistical analyses were performed using SPSS. Gene expression was analyzed with REST software.

Results: Cell viability after cryopreservation show no significant decrease in alginic encapsulated cells group compared to control group. Lin28 and Sall4 genes were significantly upregulated ($P<0.0001$, $P<0.0001$), whereas Dazl was upregulated ($P<0.0001$) after SSCs cryopreservation in alginic hydrogel.

Conclusion: This study indicates that use of alginic as scaffold in SSCs cryopreservation can be effective for stemness preservation of these cells.

Keywords: Spermatogonial Stem Cells, Cryopreservation, Alginic.

Conflict of Interest: No

*Corresponding author: M.R. Gholami, Email: rezagholami57@gmail.com

Citation: Pirnia A, Parivar K, Yaghmaei P, Hemadi M, Gholami MR. Study effect of encapsulation of spermatogonial stem cells in alginic hydrogel during cryopreservation. Journal of Knowledge & Health 2017;11(4):39-47.